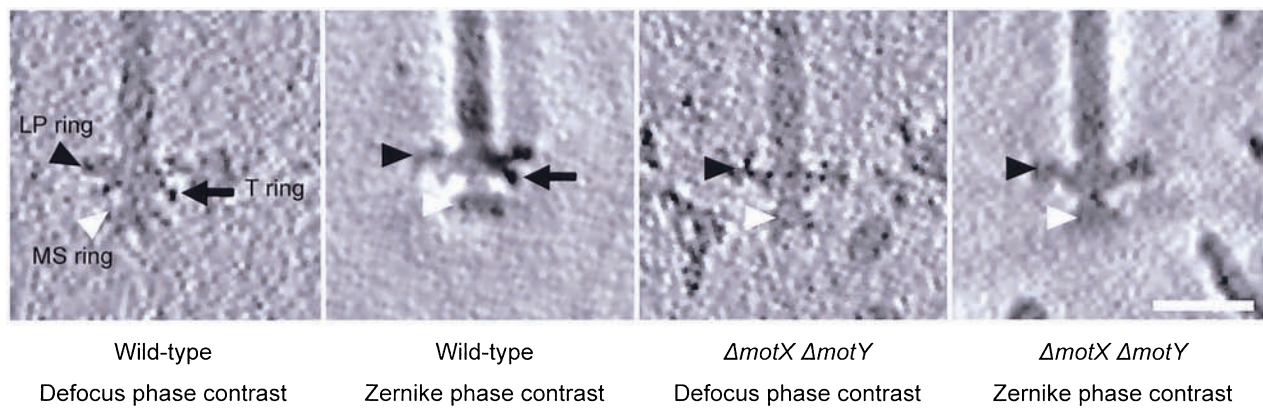


医学生物学電子顕微鏡技術学会誌

Journal of Electron Microscopy Technology for Medicine and Biology

Vol.24 No.2



Japanese Society of Electron Microscopy Technology for Medicine Biology

医学生物学電子顕微鏡技術学会

目 次 (contents)

【追 悼】

【原著：Original Work】

More Than 0.2% Water Involved in Unpolymerized Spurr's Resin Mixture Causes Sectioning Defects in Ultrathin Sections of Plant and Fungal Cells IKEDA, K. et al pp.1-5

【特別講演】

イオン液体を用いた電子顕微鏡観察技術

Development of Electron Microscopy Techniques Using Ionic Liquids 桑畠 進 pp.6-7

【公開講演】

「DNAからみた人類の世界拡散」－私たちとアンデス先住民の関係－

Analysis of DNA Variations Reveals the Dispersal of Modern Humans - Relationships Between Andean Population and Japanese People- 篠田謙一 pp.8-9

電子顕微鏡が捉えた人体—ミクロ・ナノの輝き

Micro-Nano World in the Human Body as Revealed by Electron Microscopy 島田達生 pp.10

【シンポジウム】

イオン液体のTEM応用

Application of the Ionic Liquid for Transmission Electron Microscopy 中澤英子ら pp.11-12

イオン液体の免疫電顕試料への帯電防止効果の検討

Effect of Anti-static Ionic Liquids on Electrically Charged Specimens for Immuno-electron Microscopy 和泉伸一ら pp.13-14

イオン液体を用いたの植物内生菌（エンドファイト）の 免疫SEM観察法の開発

A Speedy Specimen Preparation Method of *Neotyphodium* Endophyte Hyphae in Grasses for Immuno-Scanning Electron Microscopy by Ionic Liquid 水野 聰ら pp.15

イオン液体を用いた細胞・組織の走査電子顕微鏡観察

New Scanning Electron Microscopy of the Cell and Tissue by Using the Ionic Liquid 川里浩明ら pp.16

イオン液体を用いたヒト培養細胞の SEM 観察と応用

SEM Observation and the Application of the Ionic Liquid to Human Culture Cells 石垣靖人ら pp.17

質量顕微鏡；高解像度イメージング質量分析

Mass Microscopy; High Resolution Imaging Mass Spectrometry 瀬藤光利 pp.18-19

【奨励賞受賞】

生物試料を用いた透過型電子顕微鏡解析

Transmission Electron Microscopy for Biological Specimens 細木直樹 pp.20-22

【口演発表】

NASHにおけるGiant Mitochondria (GM) 内結晶様構造の3D解析 3D Analysis of Crystallloid Structures in Giant Mitochondria in NASH Liver	蟹江信宏ら	pp.23
耐塩性緑藻 <i>Dunaliella</i> 細胞表層構造の電顕トモグラフィー観察 Electron Tomography Observation of the Surface Structure of Halotolerant Microalgae <i>Dunaliella</i>	畠中芳郎ら	pp.24
超小型ウイルスの酢酸ウラニルに代わるネガティブ染色技法の改良 Negative-Staining Improvement of the Micro Virus by Replaced with the Uranyl Acetate	一ノ瀬昭豊ら	pp.25-26
インフルエンザウイルス感染に伴う細胞変性効果 —走査電子顕微鏡による観察— Cytopathic Effect by Influenza Virus Infection - Observation by Scanning Electron Microscopy -	勝本哲央ら	pp.27
イオン液体を用いたヒト培養細胞のSEM解析 SEM Analysis of Human Culture Cells by Using the Ionic Liquid	石垣靖人ら	pp.28
電子顕微鏡による生物試料観察に適したイオン液体の開発 Development of Ionic Liquid for Biological Specimen Observation Using Electron Microscope	津田哲哉ら	pp.29-30
FIBスライスとSEM撮影の繰り返し操作による細胞構造解析のための試料作製法 Specimen Preparation for Cell Structure Analysis by Serial Slice and Sampling of Focused Ion Beam (FIB) in Scanning Electron Microscope	太田 勲ら	pp.31
昆虫胚初期発生過程における脂肪滴形成と脂質輸送 ～高压凍結・凍結置換法を用いた電顕観察と免疫電顕観察～ Ultrastructural Analysis of Lipid Incorporation in the Early Embryogenesis in Insect Egg; Immunoelectron Microscopy Using the High-pressure Freezing and Freeze Substitution Methods	山濱由美ら	pp.32
<i>Tannerella forsythensis</i> の表層蛋白質に関する免疫EF-TEMによる窒素観察における凍結置換法、化学固定法の比較 A Comparison Between Freeze-substitution and Chemical Fixation Methods in Nitrogen Observation by Immune EF-TEM on the Surface Protein of <i>Tannerella Forsythensis</i>	盛口敬一ら	pp.33-35
ラット切歯エナメル芽細胞のClaudin 1の局在 Localization of Claudin 1 in the Rat Incisor Ameloblasts	西川純雄ら	pp.36
ヒト活性化好中球のスライドグラス付着面の形状解析 Form Analysis of the Slide Glass Adhesion Side of Activated Human Neutrophiles	一ノ瀬昭豊ら	pp.37-38
酸化チタン (TiO ₂) 添加樹脂表面への唾液中細菌付着におよぼすLED照射の影響 The Adherence of Microorganisms on the Sealants Containing TiO ₂ Particle under LED Irradiation	永目誠吾ら	pp.39
走査電子顕微鏡(SEM)は小学生を理科好きにさせるか? Will the Scanning Electron Microscope Make Elementary Schoolchildren Sience Fans?	尾上孝利ら	pp.40

【ポスター発表】

電顕ブロックトリミングチャックの試作 Trial Manufacture of a Vise Chuck for Resin Block Trimming	尾関教生	pp.41
Pioloform F を使用した試料支持膜の検討 The Examination of Pioloform F Supporting Film for Electron Microscopy	安藤克敏ら	pp.42
透過型電子顕微鏡によるwhole mount 試料作製法の試み An Attempt on New Whole Cell Mount Methods for Transmission Electron Microscopy	菊地恵美ら	pp.43
糸状菌の微細構造観察のための固定法 Fixation Method for Ultrastructural Observation of Fungal Cells	上野紳吾ら	pp.44
生物組織の超薄切片における酢酸ウランと塩化ハフニウムの電子染色性比較 Comparison of Electron Staining Method between Uranyl Acetate and Hafnium Chloride for Biological Specimen	池田健一ら	pp.45
白金ブルー染色による凍結超薄切片像の超微形態観察 Transmission Electron Microscopy of Ultra-thin Cryosection Stained with Platinum Blue	松浦絵里ら	pp.46
シロイスナズナ乳頭細胞の三次元電子線トモグラフィーによる解析 Three-dimensional Analysis of Intracellular Organelles in an Papilla Cell of <i>Arabidopsis thaliana</i>	永井里奈ら	pp.47
上頸洞骨膜と粘膜固有層を結合する線維構造の三次元観察 Three-dimensional Examination of Fibrous Structure of the Intermediate Portion between Periosteum and Lamina Propria in Maxillary Sinus	熊澤佑介ら	pp.48
<i>Rosellinia Necatrix</i> の細胞質不和合性反応における細胞像の経時的解析 Ultrastructural Analysis of Mycelial Incompatibility in <i>Rosellinia Necatrix</i>	井上加奈子ら	pp.49
Alkaline phosphatase (ALPase) 活性検出における クエン酸鉛とセリウム塩との違い Distinction Between Lead Citrate and Cerium in Alkaline Phosphatase Activity Detection	盛口敬一ら	pp.50-51
トビイロウンカ <i>Nilaparvata lugens</i> Stålにおける共生微生物の伝播 Yeast-like Symbiont Transmission in the Brown Planthopper <i>Nilaparvata lugens</i> Stål	行弘文子ら	pp.52
ヘム関連物質による好中球活性化の電子顕微鏡像 Electron Microscopic Observation of Activated Neutrophils by the Heme-related Materials	高木由里ら	pp.53-54
黄色腫様成分が豊富な髄膜腫の1例 A Case of Meningioma with Abundant Xanthomatous Change	村松浩二ら	pp.55
ショウジョウバエを用いたヒト胃癌モデルの構築 ～電子顕微鏡を用いた複眼の構造解析～ Construction of Human Gastric Cancer Model Using <i>Drosophila</i> ～Structural Analysis of the Compound Eye with Electron Microscopy～	梶原 徹ら	pp.56

急性期の虚血性腸炎患者に見られた腸管スピロヘータ症の電顕的観察

An Electron Microscopic Analysis of Intestinal Spirochetosis in a Patient
with Acute Phase of Ischemic Colitis

黒瀬 望ら

pp.57

新生仔ラット回腸吸収上皮細胞におけるエンドゾームの膜系

Endosomal System of the Ileal Absorptive Cells in Neonatal Rats

土肥良秋ら

pp.58

皮下脂胞と内臓脂胞の形態的差異

Morphological Differences Between Visceral Adipocytes and
Subcutaneous Adipocytes

魏会興ら

pp.59

パラフィンブロックの戻し電顕にて診断を確定した

血管腫様髄膜腫の1例

A Case of Angiomatous Meningioma Diagnosed by Electron Microscopy
from Paraffin Block

大兼政良育ら

pp.60-61

【学会通信】

【投稿規定】

【表 紙】

Vibrio algiolyticusのフック基部体の低温電子線トモグラムスライス。(写真左から) 野生型菌株のフック基部体の通常像、野生型菌株のフック基部体のゼルニケ位相差像、Tring(黒矢印)を構成していると考えられているMotXおよびMotY欠損変異体のフック基部体の通常像、MotXおよびMotY欠損変異体のフック基部体のゼルニケ位相差像。黒矢頭=LP ring、黒矢印=T rning、白矢頭=MS ring。スケールバー=50nm。

細木直樹 (pp.20-22)

